



دانشکده فنی مهندسی مکانیک
گروه مهندسی مکانیک

پایاننامه جهت دریافت درجه کارشناسی ارشد در رشته مهندسی
مکانیک- تبدیل انرژی

عنوان

استفاده از جریان‌های ثانویه در افزایش درجه اختلاط
سیالات غیرنیوتنی در میکرومیکسرها

استاد راهنمای
دکتر سیما با هری‌اسلامی

استاد مشاور
دکتر حبیب امین‌فر

پژوهشگر
مرضیه خضرلو

شهریور ۱۳۹۳

الحمد لله رب العالمين

نام: مرضیه	نام خانوادگی: خضرلو
استاد مشاور: دکتر حبیب امین‌فر	استاد راهنمای: دکتر سیما باهری‌اسلامی
رشته تحصیلی: مهندسی مکانیک	قطعه تحصیلی: کارشناسی ارشد
دانشگاه: تبریز	گرایش: تبدیل انرژی
تاریخ فارغ التحصیلی: شهریور ۹۳	دانشکده: مهندسی مکانیک
	تعداد صفحه: ۱۲۳

عنوان: استفاده از جریان‌های ثانویه در افزایش درجه اختلاط سیالات غیرنیوتونی در میکرومیکسرها

کلید واژه: درجه اختلاط، سیالات غیرنیوتونی، میکرومیکسر، حرکت بی‌نظم، جریان ثانویه

چکیده:

در سال‌های اخیر فناوری مربوط به سیستم‌های میکروفلئیدی به سرعت در حال گسترش بوده و کاربردهای وسیعی در صنایع شیمیائی و بیوتکنولوژی پیدا کرده است. یکی از این سیستم‌ها، سیستم آنالیز کلی میکرو که μTAS نامیده می‌شود، می‌باشد. این تجهیزات که به صورت یک آزمایشگاه تراشه‌ای می‌باشد شامل وسائل جریان سیال در ابعاد میکرو و سنسورهای گوناگون هستند و برای فرآیندهای مختلفی چون اختلاط، واکنش شیمیائی، جداش و استخراج به کار می‌روند. به علت کوچک بودن ابعاد، اعداد رینولذ این تجهیزات بسیار پائین است بنابراین در فرآیندی چون اختلاط، جریان هیچ‌گاه متلاطم نمی‌شود و کارائی اختلاط بسیار ضعیف است، زیرا در این رژیم، اختلاط فقط در نتیجه پخش مولکولی است و بنابراین برای رسیدن به یک درجه اختلاط مناسب، به یک مسیر طولانی و زمان بالا نیاز است. یکی از راه‌های افزایش اختلاط در این وضعیت استفاده از میکرومیکسرها است. میکرومیکسرها به دو دسته اصلی فعال و غیرفعال تقسیم می‌شوند. میکرومیکسر فعال نیاز به انرژی ورودی خارجی چون اعمال میدان الکتریکی، مغناطیس، نوسانات سرعت و ...دارد در حالیکه اختلاط در میکرومیکسر غیرفعال از تعامل جریان اصلی با هندسه کanal، که به شکل خاصی طراحی شده است، بدون هیچ گونه انرژی خارجی صورت می‌گیرد. میکرومیکسر فعال عملکرد بهتری دارد ولی در اکثر موارد هزینه ساخت آن بالاست و یا حرارت تولید شده به نمونه‌های بیولوژیکی در فرآیند آسیب می‌رساند. در بسیاری از میکرومیکسرهای غیرفعال برمبنای دیفیوژن مولکولی، پدیده جابجایی در امتداد جریان اصلی است، بنابراین پدیده انتقال در جهت عرضی فقط از طریق نفوذ مولکولی است در حالی که اگر بتوان با روشی جریان‌های ثانویه‌ای در جهت عرضی ایجاد کرد، اختلاط به‌طور قابل توجهی بهبود می‌یابد و می‌توان با هندسه‌های ساده‌تر به درجات اختلاط بالاتری رسید. گردابهای عرضی در مقطع کanal‌های منحنی مثالی برای این روش است که باعث می‌شود فصل مشترک بین دو سیال تحت اختلاط افزایش یافته و اختلاط بهبود پیدا کند. طرح اصلی در این روش ایجاد مکانیزم انتقال جابجایی علاوه بر انتقال مولکولی، از طریق کشیده شدن، پیچش و شکست المان‌های سیال در جریان لایه‌ای است. با اینکه اکثر مواد شیمیائی و بیولوژیکی در سیستم‌های μTAS سیالات غیرنیوتونی هستند، اما اختلاط جریان سیالات غیرنیوتونی در این نوع میکرومیکسرها به‌ندرت به صورت عددی بررسی شده است.

در این مطالعه، میکرومیکسرهای منحنی که از مکانیزم یاد شده برای افزایش اختلاط استفاده می‌کنند به صورت عددی مورد ارزیابی قرار گرفتند و کارائی اختلاط انواع میکرومیکسرهای منحنی در اختلاط جریان سیالات غیرنیوتونی ارزیابی شد. همچنین الگوهای جریان‌های ثانویه و نقش آن‌ها در بهبود اختلاط مورد بررسی قرار گرفت و تفاوت ساختار آن‌ها با سیالات غیرنیوتونی ارائه شد. تاثیر پارامترهای جریان و پارامترهای ویسکوزیته سیالات غیرنیوتونی در درجه اختلاط ارزیابی بهترین هندسه از میان هندسه‌های مورد مطالعه ارائه شد. نتایج بررسی‌ها نشان داد که با کاهش مقدار شاخص توانی سیال، درجه اختلاط در تمامی میکرومیکسرها کاهش و افت فشار بی‌بعد افزایش می‌یابد. برای تمامی مقادیر n با افزایش عدد رینولذ جریان، کاهش افت فشار بی‌بعد در میکرومیکسرها مشاهده شد. همچنین

نتایج یک سیر کاهشی- افزایشی را برای درجه اختلاط تمامی سیالات با افزایش عدد رینولدز نشان داد. به عنوان یک نتیجه مهم می‌توان گفت تعبیه‌ی شیار در کف میکرومیکسر تاثیر مثبت روی افت فشار بی‌بعد و درجه اختلاط میکرومیکسر دارد.

با احترام تقدیم به...

ما حصل آموخته‌ایم را تقدیم می‌کنم...

به پدرم، استوارترین تکیه‌گاهم، بزرگواری که الفبای زنگی را از او آموختم.

به مادرم، دیایی بی‌کران فدایاری و عشق که وجودم برایش هم رنج بود و وجودش برایم همه مهر.

به استادم خانم دکتر باهری، او که آموخت مرا تایا موزم...

که هرچه آموختم دکتب عشق شما آموختم و هرچه بکوشم قطره‌ای از دیایی بی‌کران میریاندان را پاس توانم گفت.

ره آوردی گران سُنگ تراز این ارزان نداشم تا به خاک پایستان شارکنم، باشد که حاصل تلاش نیم کون غبار حکتیان را بزداید.

بوسه بر دستان پر مهرستان

شکر و پاس خدارا که بزرگترین امید و یاور در حفظ حنفی زندگیست...

راست گفتند که هر انسانی دو آموزنده دارد؛ کلی روزگار و دیگری آموزگار، کلی به بسای زندگیت و آن کلی به بسای زندگیش. بدون شک جایگاه و مترت علم، اجل از آن است که در مقام قدردانی از زحات بی شایبی او، بازابن قاصر و دست ناتوان، چیزی بخارم. لای از آنجایی که تجلیل از علم، پاس از انسانی است که هدف و غایت آفونش را تایی می‌کند بر حسب وظیفه و از باب "الله لم یکسر المعلم من المخلوقین لم یکسر الله عز و جل"؛

از استاد بزرگوارم، سرکار خانم دکتر سیما باحری اسلامی که در کمال سعد صدر، با حسن خلق و فروتنی، از بیچارگانی کلی در این عرصه بر من دفعه تمودند و زحمت را همیلی این تحقیق را بر عده گرفتند، سکر می‌کنم. از استاد مشاور گرامی ام، جناب آقا دکتر حسیب این فرساکنارم که بی شک بدون مساعدت ایشان، این پژوهه به تیجه مطلوب نمی‌رسید. از استاد فرزانه ولسوز، جناب آقا دکتر محمد تقی شریعتی تبار که زحمت داوری و بازخوانی این مجموعه را متفقی شده‌اند، کمال تقدیر و قدردانی را دارم. از استاد گرامی جناب آقا دکتر رضا غرافی خسروشاهی که در انجام پایان نامه از راهمیلی و گمک بیشان برهه فراوان برده‌ام، سکر می‌نایم. بچنین از استاد محتشمی که در طول دوران تحصیلی ام، جهت آموزش و ارتقای علمی بند، زحمت کشیده‌اند بی نهایت سپاسگزارم. باشد که این خردترین، بخشی از زحات آمان را پاس کوید.

ان پر و مادر عزیزم، این دو معلم بزرگوارم، که همواره بر کوتایی و درشتی من، قلم عفو کشیده و کریانه از کنار خلقت بایم گذشته‌اند و در تمام عرصه‌های زنگی یار و یاوری بی‌چشم داشت برای من بوده‌اند، سپاسگزارم.

از همسری خوبانی که با همکاری و همراهی شان این تحقیق به تیجه رسید، سکر می‌نایم.

فهرست مطالب

عنوان	صفحه
فصل اول: پیشینه‌ی پژوهش	
۱-۱ مقدمه	۲
۱-۲-۱ انواع میکرومیکسرها	۳
۱-۲-۱-۱ میکرومیکسرهای غیرفعال	۳
۱-۲-۱-۱-۱ میکرومیکسرهای T یا Y شکل	۴
۱-۲-۱-۱-۲ میکرومیکسرهای چندلایه‌ای موازی	۵
۱-۲-۱-۱-۳ میکرومیکسرهای چندلایه‌ای متوالی	۵
۱-۲-۱-۴ میکرومیکسر حرکت بی‌نظم	۷
۱-۲-۱-۵ میکرومیکسر تزریقی	۹
۱-۲-۱-۶ میکرومیکسر قطره‌ای	۱۰
۱-۲-۱-۷ تمرکز جریان	۱۱
۱-۲-۱-۸ میکرومیکسرهای فعال	۱۲
۱-۲-۲-۱ نوسانات میدان فشار	۱۳
۱-۲-۲-۲ اغتشاش ناشی از دیالکتروفورتیک	۱۴
۱-۲-۲-۳ ارتعاش الکترووتینگ	۱۴
۱-۲-۲-۴ اغتشاش ناشی از الکترو-سنตیک	۱۵
۱-۲-۲-۵ اغتشاش ناشی از امواج فراصوت	۱۵
۱-۲-۲-۶ اغتشاش ناشی از مگنتوهیدرودینامیک	۱۶
۱-۲-۲-۷ اغتشاش ناشی از نیروی گریز از مرکز	۱۷
۳-۱ مروری بر مطالعات انجام شده در زمینه میکرومیکسرهای منحنی شکل	۱۸
۴-۱ مروری بر مطالعات انجام شده در زمینه اختلاط سیالات غیرنیوتی در انواع میکرومیکسرها	۲۵

فصل دوم: مواد و روش‌ها

۲۹	۱-۲ سیالات غیرنیوتینی
۳۳	۲-۲ تئوری آشوب و حرکت بی نظم
۳۵	۳-۲ معادلات حاکم
۳۶	۴-۲ اعداد بی بعد و کمیت‌های موثر
۳۶	۱-۴-۲ عدد رینولدز
۳۷	۲-۴-۲ عدد دین
۳۹	۳-۴-۲ مشخصه درجه اختلاط
۴۰	۱-۳-۴-۲ مطالعات تجربی
۴۲	۲-۳-۴-۲ مطالعات عددی
۴۴	۵-۲ بیان مساله و روش حل عددی
۴۵	۶-۲ معرفی اجمالی نرم افزار OpenFOAM
۴۷	۷-۲ خواص سیالات مورد بررسی
۴۸	۸-۲ هندسه و شرایط مرزی

فصل سوم: نتایج و بحث

۵۵	۱-۳ بررسی استقلال حل عددی از شبکه محاسباتی
۵۵	۲-۳ اعتبارسنجی
۵۸	۳-۳ ویسکوزیته سیالات بررسی شده
۵۹	۴-۳ بررسی میکرومیکسرها و انتخاب هندسه مناسب
۵۹	۱-۴-۳ بررسی براساس هندسه میکرومیکسر
۵۹	۱-۴-۳ درجه اختلاط
۶۳	۱-۴-۳ افت فشار در طول عبور سیال از میکرومیکسرها
۶۶	۲-۴-۳ بررسی براساس شاخص قانون توانی
۶۶	۱-۴-۳ درجه اختلاط

۶۹	۲-۲-۴-۳ افت فشار جریان در عبور از میکرومیکسرها
۷۳	۳-۴-۳ بررسی بردارهای سرعت و توزیع غلظت جز سیالی
۸۸	۴-۴-۳ انتخاب هندسه‌ی مناسب
۹۰	۵-۴-۳ بررسی توزیع سرعت
۹۳	۵-۳ ارائه تصحیحات هندسی به منظور بهبود عملکرد میکرومیکسر
۹۴	۱-۵-۳ درجه اختلاط
۹۵	۲-۵-۳ افت فشار جریان در عبور از میکرومیکسر
۱۰۴	۳-۵-۳ انتخاب هندسه‌ی مناسب
۱۰۵	۶-۳ بررسی اختلاط دو سیال با مقادیر m و n متفاوت
۱۱۶	نتیجه گیری
۱۱۸	پیشنهادات برای ادامه‌ی کار
۱۱۹	مراجع

فهرست شکل‌ها

صفحه

شکل

- ۴ شکل ۱-۱: میکرومیکسر T شکل با دو سیال ورودی.
- ۶ شکل ۱-۲: انواع میکرومیکسرهای چندلایه‌ای موازی.
- ۷ شکل ۱-۳: میکرومیکسر چندلایه‌ای متواالی، میکرومیکسر استاتیک با کanal متقاطع (بالا) و المان‌های مارپیچ (پائین).
- ۸ شکل ۱-۴: طرح‌های مسطح برای میکرومیکسرهای حرکت بی‌نظم در اعداد رینولذ بالا، (الف) موافع داخل کanal [۱۳]، (ب) موافع روی دیوار [۱۵]، (ج) کanal زیگ-زاگ.
- ۹ شکل ۱-۵: چند نوع از هندسه‌های میکرومیکسر حرکت بی‌نظم برای اعداد رینولذ متوسط، (الف) اتصال L شکل خارج از صفحه [۱۶]، (ب) L شکل [۱۷]، (ج) C شکل [۱۶]، (د) ساختار اصلاح یافته تسلی.
- ۹ شکل ۱-۶: کanal‌های اختلاط اصلاح شده برای حرکت بی‌نظم در اعداد رینولذ پائین، (الف) شیارهای دوطرفه، (ب) شیارهای مایل، (ج) ریب‌های مایل.
- ۱۰ شکل ۱-۷: نوعی میکرومیکسر تزریقی.
- ۱۱ شکل ۱-۸: میکرومیکسر قطره‌ای (الف) اختلاط در میکروقطرات جریان در میکروکanal، جریان چرخشی ایجاد شده در کanal مستقیم، (ب) و (ج) الگوی جریان ایجادشده در میکروکanal پیچ‌دار، (د) نتایج تجربی ایجاد حرکت بی‌نظم در قطرات میکرو.
- ۱۲ شکل ۱-۹: تمرکز جریان (الف) میکسر تمرکز هیدرودینامیکی، (ب) تاثیر نسبت فشار جریان جانبی به فشار جریان میانی روی پهنه‌ی جریان متتمرکز (به ترتیب $0/5$ ، $1/1$ ، $1/2$ ، $1/1$).
- ۱۵ شکل ۱-۱۰: (الف) میکرومیکسر T شکل با ورودی سرعت نوسانی، (ب) و (ج) کانتور غلظت ارائه شده برای میکرومیکسر ترکیبی.
- ۱۷ شکل ۱-۱۱: اختلاط با میکروجریان صوتی، (الف) میکرومیکسر، (ب) اختلاطی در غیاب امواج صوت مشاهده نمی‌شود. (ج) اختلاط سریع در حضور امواج صوتی حاصل می‌شود. (د) منحنی غلظت در پایین دست حباب هوا، (و) منحنی غلظت در بالا دست حباب هوا.

شکل ۱-۱۲: (الف) میکرومیکسر توزیع مغناطیسی، (ب) تغییر شکل جریان سیال در نتیجه نیروی حجمی لورنتس و تولید گردابهای متناظر.

شکل ۱-۱۳: میکرومیکسر گریز از مرکز، (الف) میکرومیکسر و اجزای آن، (ب) شبیه‌سازی فرآیند اختلاط و نمایش تاثیر شبه نیروی کربولیس در تاشدن فصل مشترک دو سیال و تاثیر نیروی گریز از مرکز در حرکت سیال به سمت خروجی کanal.

شکل ۲-۱: انواع سیالات غیرنیوتونی.

شکل ۲-۲: منحنی تنش-نرخ کرنش انواع سیالات غیرنیوتونی مستقل از زمان.

شکل ۲-۳: طرح کلی نمایش رفتار رقیق شوندگی.

شکل ۲-۴: جریان عرضی دین در لوله‌ی منحنی شکل.

شکل ۲-۵: جریان دین در نرخ‌های بالای جریان.

شکل ۲-۶: تصویربرداری از نمای بالا.

شکل ۲-۷: عکس با استفاده از نمای بالا، (الف) تصویر دیجیتالی جریان محلول‌های آبی به رنگ‌های زرد و آبی، (ب) تصویر مقیاس خاکستری که ناحیه مخلوط شده را نشان می‌دهد و نمای بسته اندازه‌گیری عرض کanal و عرض ناحیه مخلوط شده دو جریان.

شکل ۲-۸: نمونه‌ای از شبکه محاسباتی، میکرومیکسر -a.

شکل ۲-۹: طرحواره میکرومیکسرها، تصویر روی صفحه‌ی میانی ($y = 0$): (الف) میکرومیکسر -a، (ب) میکرومیکسر -b، (پ) میکرومیکسر -c، (ج) میکرومیکسر -d، (د) میکرومیکسر -e، (ر) میکرومیکسر -f، (و) میکرومیکسر -g، تصویر از پائین: (م) میکرومیکسر -h، (ی) میکرومیکسر -i.

شکل ۳-۱: پروفیل سرعت بی بعد در اولین چرخش $\theta = 90^\circ$ میکرومیکسر a برای شبکه‌های مختلف.

شکل ۳-۲: (الف) هندسه‌ی مورد بررسی مرجع [۴۹]، (ب) مقایسه‌ی نتایج برای توزیع درجه اختلاط در مقابل عدد رینولدز.

شکل ۳-۳: هندسه‌ی مورد بررسی مرجع [۶۲].

شکل ۳-۴: مقایسه نتایج برای (الف) تغییرات درجه اختلاط در طول کanal، (ب) پروفیل سرعت بی بعد در $x/H = 0/5$.

شکل ۳-۵: مقایسه‌ی نتایج برای پروفیل سرعت بی بعد در ناحیه‌ی ورودی جریان‌های برخوردی سیال رقیق‌شونده.

شکل ۳-۶: ویسکوزیته ظاهری سیالات غیرنیوتونی، (الف) در $y=0$ پیچ اول، (ب) در $y=0$ خروجی، میکرومیکسر

$$Re=100 \text{ a}$$

شکل ۳-۷: تغییرات درجه اختلاط در میکروکانال مستقیم برحسب عدد رینولدز برای شاخصهای توانی مختلف در خروجی میکروکانال.

شکل ۳-۸: تغییرات درجه اختلاط برای میکرومیکسرهای مختلف برحسب عدد رینولدز برای شاخصهای توانی مختلف در خروجی میکرومیکسر.

شکل ۳-۹: تغییرات افت فشار جریان در عبور از میکروکانال مستقیم برحسب عدد رینولدز برای شاخصهای توانی مختلف.

شکل ۳-۱۰: تغییرات افت فشار جریان در عبور از میکرومیکسرها برحسب عدد رینولدز برای شاخصهای توانی مختلف.

شکل ۳-۱۱: تغییرات درجه اختلاط میکرومیکسرها برحسب عدد رینولدز برای شاخصهای توانی مختلف.

شکل ۳-۱۲: تغییرات افت فشار جریان در عبور از میکرومیکسرها برحسب عدد رینولدز برای شاخصهای توانی مختلف.

شکل ۳-۱۳: توزیع غلظت و بردارهای سرعت در صفحه‌ی y و z برای شاخصهای توانی مختلف، در زاویه 90° ساع
انحنای R_2 میکرومیکسر . $Re = 50$

شکل ۳-۱۴: توزیع غلظت و بردارهای سرعت در صفحه‌ی y و z برای شاخصهای توانی مختلف، در زاویه 270°
میکرومیکسر (R_2) ساع انحنای d

شکل ۳-۱۵: توزیع غلظت و بردارهای سرعت در صفحه‌ی y و z برای شاخصهای توانی مختلف، در زاویه 90° اولین
پیچ میکرومیکسر . $Re = 50$

شکل ۳-۱۶: توزیع غلظت و بردارهای سرعت در صفحه‌ی y و z برای جریان‌هایی با رینولدز مختلف، در زاویه 90°
ساع انحنای R_2 میکرومیکسر e شاخص توانی . $0/75$

شکل ۳-۱۷: توزیع غلظت و بردارهای سرعت در صفحه‌ی y و z برای جریان‌هایی با رینولدز مختلف، در زاویه 270°
میکرومیکسر d (ساع انحنای R_2)، شاخص توانی . $0/75$

شکل ۳-۱۸: توزیع غلظت و بردارهای سرعت در صفحه‌ی y و z برای جریان‌هایی با رینولدز مختلف، در زاویه 90°
اولین پیچ میکرومیکسر b، شاخص توانی . $0/75$

شکل ۳-۱۹: توزیع غلظت و بردارهای سرعت در صفحه‌ی y و z در شاعرهای مختلف، میکرومیکسر d، شاخص توانی
. $Re = 100$ و $0/75$

شکل ۳-۲۰: توزیع غلظت و بردارهای سرعت در صفحه‌ی y و z در شاعرهای مختلف، میکرومیکسر e، شاخص توانی
. $Re = 100$ و $0/75$

شکل ۳-۲۱: توزیع غلظت و بردارهای سرعت در صفحه عمود بر جریان در سه مقطع - ۹۰° پیچ دوم، وسط پیچ دوم و ۸۴ سوم، ۹۰° پیچ سوم، میکرومیکسر a، شاخص توانی ۰/۷۵ Re = 100.

شکل ۳-۲۲: توزیع غلظت و بردارهای سرعت در صفحه عمود بر جریان در سه مقطع - ۹۰° پیچ دوم، وسط پیچ دوم و ۸۵ سوم، ۹۰° پیچ سوم، میکرومیکسر b، شاخص توانی ۰/۷۵ Re = 100.

شکل ۳-۲۳: توزیع غلظت و بردارهای سرعت در صفحه عمود بر جریان در سه مقطع - ۹۰° پیچ دوم، وسط پیچ دوم و ۸۶ سوم، ۹۰° پیچ سوم، میکرومیکسر c، شاخص توانی ۰/۷۵ Re = 100.

شکل ۳-۲۴: مقایسه توزیع غلظت و بردارهای سرعت میکرومیکسر a و f شاخص توانی ۰/۸۵ Re = 100.

شکل ۳-۲۵: توزیع بزرگی سرعت برای اعداد رینولدز مختلف، وسط میکرومیکسر d، شاخص توانی ۰/۷۵.

شکل ۳-۲۶: توزیع بزرگی سرعت برای شاخص‌های توانی مختلف، وسط میکرومیکسر d، Re=50.

شکل ۳-۲۷: توزیع غلظت در خروجی میکرومیکسرهای مختلف، n = 0.6.

شکل ۳-۲۸: تغییرات درجه اختلاط در خروجی میکرومیکسرهای a, g, h و i در مقابل عدد رینولدز برای شاخص‌های توانی ۰/۴۶ و ۰/۴۹.

شکل ۳-۲۹: تغییرات افت فشار بی بعد جریان در عبور از میکرومیکسرهای a, g, h و i در مقابل عدد رینولدز برای شاخص‌های توانی ۰/۴۶ و ۰/۴۹.

شکل ۳-۳۰: خطوط جریان در پیچ سوم میکرومیکسر g در صفحه میانی، (الف) Re=1، (ب) Re=50، (ج) Re=20، (د) Re=300، شاخص توانی ۰/۶.

شکل ۳-۳۱: توزیع غلظت و بردارهای سرعت در صفحه yz زاویه ۹۰° انحنای اول سه میکرومیکسر a, h و i شاخص توانی ۰/۶ در اعداد رینولدز مختلف.

شکل ۳-۳۲: توزیع غلظت روی مقاطع عمود بر جریان در میکرومیکسرهای a, g, h و i شاخص توانی ۰/۶ Re=1.

شکل ۳-۳۳: توزیع غلظت در خروجی میکرومیکسرهای a, g, h و i، شاخص قانون توانی ۰/۶ Re=1.

شکل ۳-۳۴: تغییرات درجه اختلاط دو سیال با غلظت‌های ۰ و ۵/۰ در طول میکرومیکسرهای مختلف برای دبی جرمی ۱۰/۷ کیلوگرم بر ثانیه.

شکل ۳-۳۵: تغییرات درجه اختلاط دو سیال با غلظت‌های ۰ و ۵/۰ در طول میکرومیکسرهای مختلف برای دبی جرمی ۱۰/۶ کیلوگرم بر ثانیه.

شکل ۳-۳۶: توزیع غلظت در زاویه ۹۰° اولین پیچ از میکرومیکسر a و دبی جرمی ۱۰/۶ کیلوگرم بر ثانیه، ۱۱۲

(الف) سیالی با غلظت ۰ نزدیک به مرکز انحنای کانال، (ب) سیالی با غلظت ۵/۰ نزدیک به مرکز انحنای کانال.

شکل ۳-۳: توزیع غلظت در زاویه‌ی ۹۰° اولین پیچ از میکرومیکسر a و دبی جرمی ۳۷/۳۹×۱۰^{-۶} کیلوگرم بر ثانیه، ۱۱۲

(الف) سیالی با غلظت ۰ نزدیک به مرکز انحنای کانال، (ب) سیالی با غلظت ۵/۰ نزدیک به مرکز انحنای کانال.

شکل ۳-۴: تغییرات درجه اختلاط دو سیال با غلظت‌های ۰/۷ و ۰/۵ در طول میکرومیکسرهای مختلف برای دبی ۱۱۳

جرمی ۱۳/۸۹×۱۰^{-۶} کیلوگرم بر ثانیه.

فهرست جداول

صفحه	جدول
۳۷	جدول ۱-۲: پارامتر هندسی بی بعد ارائه شده توسط دلپلیس و لولیت.
۴۸	جدول ۲-۲: پارامترهای ویسکوزیته سیال قانون توانی.
۸۸	جدول ۳-۱: نسبت پارامتر بی بعد $\frac{M}{\Delta P/\rho U_m^2}$ برای میکرومیکسرهای منحنی شکل به مقدار $\frac{M}{\Delta P/\rho U_m^2}$ برای میکروکانال مستقیم.
۱۰۴	جدول ۳-۲: نسبت پارامتر بی بعد $\frac{M}{\Delta P/\rho U_m^2}$ برای میکرومیکسرهای تصحیح شده به مقدار $\frac{M}{\Delta P/\rho U_m^2}$ برای میکروکانال مستقیم.
۱۰۵	جدول ۳-۳: نسبت پارامتر بی بعد $\frac{M}{\Delta P/\rho U_m^2}$ برای میکرومیکسرهای تصحیح شده به مقدار $\frac{M}{\Delta P/\rho U_m^2}$ برای میکرومیکسر a.
۱۰۶	جدول ۳-۴: راهنمای نمودارهای درجه اختلاط گزارش شده در بخش ۳-۶ برای تعیین موقعیت جزه‌های ورودی.

فهرست علائم

x, y, z	مولفه‌های مختصات دکارتی	x, y, z	بردارهای سرعت به ترتیب در راستای z	u, v, w
ویسکوزیته	μ		فشار	P
ضریب سازگاری	m		غلظت جرمی	C
شاخص قانون توانی	n		ضریب نفوذ جرمی	D
تانسور نرخ برش	$\bar{\gamma}$		بردار سرعت	V
اندازه‌ی تانسور نرخ برش	$\dot{\gamma}$		خطوط جریان	ψ
تانسور تنش برشی	$\bar{\tau}$		عدد رینولدز	Re
چگالی	ρ		عدد دین	De
عرض میکروکانال	W		درجه اختلاط	M
ارتفاع میکروکانال	H		شدت اختلاط	MI
شعاع انحنای میکروکانال	R		انحراف معیار	σ
قطر هیدرولیکی	D_h		تعداد کل المان‌های سطح	N
پارامتر هندسی	δ	درجه اختلاط مربوط به ردیابی ذرات	Cov	
فاصله	s	پارامتر بی بعد هندسی	ξ	
		طول محوری میکرومیکسر	l	

فهرست زیرنویس‌ها

ناحیه مخلوط شده	mix	مقدار مربوط به هر سلول	i
کانال	ch	متوسط	m
		ظاهری	app

فصل اول

پیشنهاد پژوهش

در دو دهه‌ی اخیر تکنولوژی آزمایشگاه تراشه‌ای^۱ باعث پیشرفت چشمگیر توسعه میکروسیستم‌ها به ویژه در زمینه‌های شیمیایی، بیولوژیکی و کاربردهای پزشکی شده است. تکنولوژی آزمایشگاه تراشه‌ای به طور گسترده در فرآیندهایی مانند کریستالیزاسیون نانوذرات، استخراج، پلیمریزاسیون، سنجش‌های آلی، سنجش آنژیمی، تاخوردگی پروتئین، غربالگری بیولوژیکی، تجزیه‌های سلولی، بهینه‌سازی فرآیندهای زیستی و انتقال دارو کاربرد دارد. از طرفی با کوچک شدن انواع سیستم‌های سیالی، وسایل میکروسیالی مانند میکروپمپ‌ها، میکروسوپاپ‌ها، میکرومیکسرها و ... بسیار پرکاربرد شده‌اند [۱]. بسیاری از وسایل میکروسیالی نیاز به اختلاط دو یا تعداد بیشتری سیال دارند از این رو واحد مخلوط کننده مهم‌ترین واحد در سیستم‌ها میکروسیالی است. میکرومیکسرها به طور گسترده در سیستم‌های بیوشیمیایی، رآکتورها و .. استفاده می‌شوند. از کاربردهای میکرومیکسرها می‌توان به اندازه گیری غلظت نمونه موردنظر، مطالعه سینتیک واکنش‌های شیمیایی، حس‌گرهای زیستی، آماده سازی مخلوط قبل از واکنش شیمیایی، پخش دو فاز غیرقابل امتزاج در یکدیگر و جداسازی ذرات براساس میزان نفوذ آن‌ها اشاره کرد [۲]. دو مکانیزم اصلی اختلاط، نفوذ مولکولی و حرکت بی‌نظم در جریان است. در ابعاد ماکرو آشفتگی جریان باعث ایجاد گردابه‌هایی در جریان می‌شود که در نتیجه این گردابه‌ها فرآیند اختلاط انجام می‌گیرد ولی در ابعاد میکرو به دلیل پائین بودن سرعت جریان و غلبه‌ی نیروهای ویسکوز به نیروهای جابجایی، نفوذ مولکولی مکانیزم غالب است در نتیجه برای رسیدن به اختلاط با کیفیت بالاتر نیاز به کanal طولانی و زمان زیادی است. برای کاهش زمان اختلاط در میکرومیکسرها چندین روش وجود دارد، در هرکدام از این روش‌ها از پدیده‌ی خاصی برای بهبود اختلاط در میکرومیکسرها استفاده شده است. در مورد انواع میکرومیکسرها در ادامه بحث خواهد شد. از طرفی اکثر مواد بیولوژیکی و شیمیایی در سیستم‌های میکروسیالی سیالات غیرنیوتی نیستند، از این رو بررسی اختلاط در میکرومیکسرهایی با سیال‌های غیرنیوتی بسیار پراهمیت است.

1. Lab-On-a-Chip (LOC)

۲-۱ انواع میکرومیکسرها

به طور کلی میکرومیکسرها به دو دسته‌ی فعال و غیرفعال تقسیم می‌شوند. میکرومیکسرهای فعال برای افزایش اختلاط به اعمال انرژی خارجی نیاز دارند، در حالیکه میکرومیکسرهای غیرفعال به انرژی خارجی نیاز ندارند و افزایش بازده آن‌ها با تغییر و اصلاح هندسه‌ها امکان پذیر است. بازده اختلاط میکرومیکسرهای فعال خیلی بهتر از میکرومیکسرهای غیرفعال است ولی چون ساخت آن‌ها مشکل و هزینه‌بر است و به دلیل دخیل بدون نیروهای خارجی امکان تاثیر منفی روی سیال تحت اختلاط وجود دارد به همین دلیل، میکرومیکسرهای غیرفعال پرکاربردتر هستند. همچنین قابل ذکر است که فرآیند ساخت میکرومیکسرهای غیرفعال ساده و کم هزینه است.

۱-۲-۱ میکرومیکسرهای غیرفعال

پدیده‌ی انتقال جرم در میکرومیکسرهای غیرفعال توسط مکانیزم نفوذ مولکولی و یا حرکت بی‌نظم^۱ صورت می‌پذیرد. این میکرومیکسرها با هندسه‌هایی مناسبی که سطح تماس بین سیالات مختلف را افزایش می‌دهند و در نتیجه مسیر پخش را کوتاه می‌کنند، طراحی می‌شوند. بهبود در حرکت نامنظم می‌تواند با تغییر در طراحی که موجب دستکاری جریان لایه‌ای داخل کanal می‌شود، تحقق یابد. میکرومیکسرهای غیرفعال در حالت کلی به چند حال تقسیم می‌شوند که عبارتند از:

✓ میکرومیکسرهای T و Y شکل

✓ میکرومیکسرهای چندلایه‌ای موازی^۲

✓ میکرومیکسرهای چندلایه‌ای متواالی^۳

✓ میکرومیکسر با تمرکز جریان

-
1. Chaotic advection
 2. Parallel Lamination
 3. Sequential Lamination

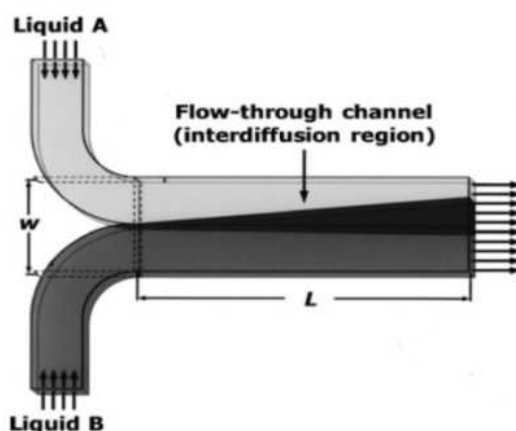
✓ میکرومیکسرهای حرکت بی نظم

✓ میکرومیکسر تزریقی

✓ میکرومیکسرهای قطره‌ای

۱-۱-۲-۱ میکرومیکسرهای T یا Y شکل

ساده‌ترین و اساسی‌ترین طراحی برای یک میکرومیکسر با کانال‌های T یا Y شکل ارائه شده است. طرحواره‌ی این نوع میکرومیکسرها در شکل ۱-۱ نشان داده شده است. فرآیند اختلاط در این نوع میکرومیکسرها با هدایت دو سیال تحت اختلاط به داخل کanal اصلی و تماس آن‌ها از طریق جاری شدن در کanal انجام می‌پذیرد. لازم به ذکر است که در طرح‌های پایه‌ای T یا Y شکل، اختلاط فقط وابسته به نفوذ جزها در فصل مشترک بین دو سیال است، بنابراین سرعت اختلاط در این میکرومیکسرها بسیار کم است در نتیجه به کanal اختلاطی با طول بسیار زیاد نیاز است. محققان مختلف با اضافه کردن موائع یا زبری سطح به دیواره‌های کanal، تغییرات جزئی در هندسه این میکرومیکسرها، به منظور بهبود بازده اختلاط پیشنهاد داده‌اند [۳-۵]. وینسترا^۱ و همکاران با ایجاد یک باریک شدگی ساده در مسیر کanal اختلاط میکرومیکسر T شکل، طول اختلاط را کاهش دادند [۶].



شکل ۱-۱: میکرومیکسر T شکل با دو سیال ورودی.